

Exemplo 10.7. Vamos considerar a série Chuva–Lavras, com 384 observações mensais (janeiro de 1966 a dezembro de 1997). Utilizaremos 372 observações para a identificação, estimação e verificação do modelo; as 12 últimas observações servirão como base para comparar as previsões.

A Figura 10.2 apresenta o gráfico da série, o periodograma e as funções de autocorrelação e autocorrelação parcial amostrais. O periodograma apresenta um pico na frequência $\frac{32}{384}$ ciclos, indicando (como veremos no Capítulo 14) uma componente periódica de 12 meses. A existência dessa componente periódica também se reflete no comportamento senoidal do correlograma e indica a necessidade de se aplicar uma diferença sazonal de ordem 12, à série original, com o objetivo de eliminar essa componente.

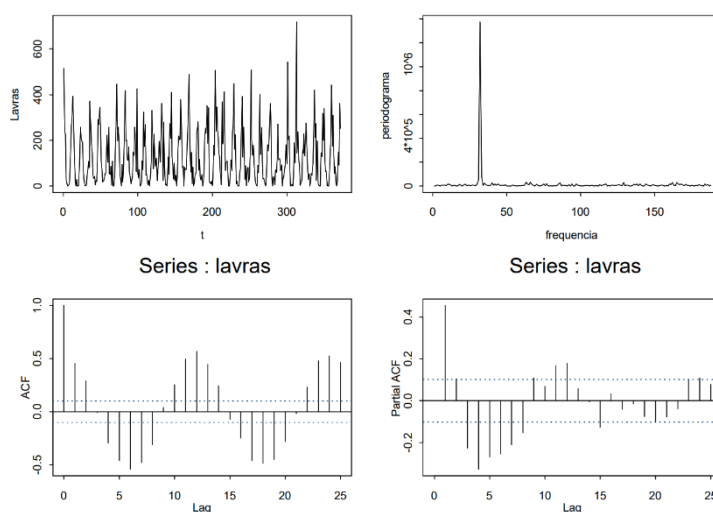


Figura 10.2: Série Chuva–Lavras, periodograma e funções de autocorrelação e autocorrelação parcial.

A Figura 10.3 apresenta as fac e $facp$ da série $(1 - B^{12})Z_t$, com os respectivos intervalos de confiança. A análise do correlograma revela, nitidamente, a presença de correlações altas nos “lags” 12, 15 e 16. Além disso, as demais autocorrelações são não significantes, indicando um comportamento estacionário na série com uma diferença sazonal. Isto sugere, como modelo preliminar, um SARIMA(0, 0, 0) \times (0, 1, 1)₁₂ com uma constante:

$$(1 - B^{12})Z_t = (1 - \Theta_1 B^{12})a_t + \theta_0. \tag{10.29}$$

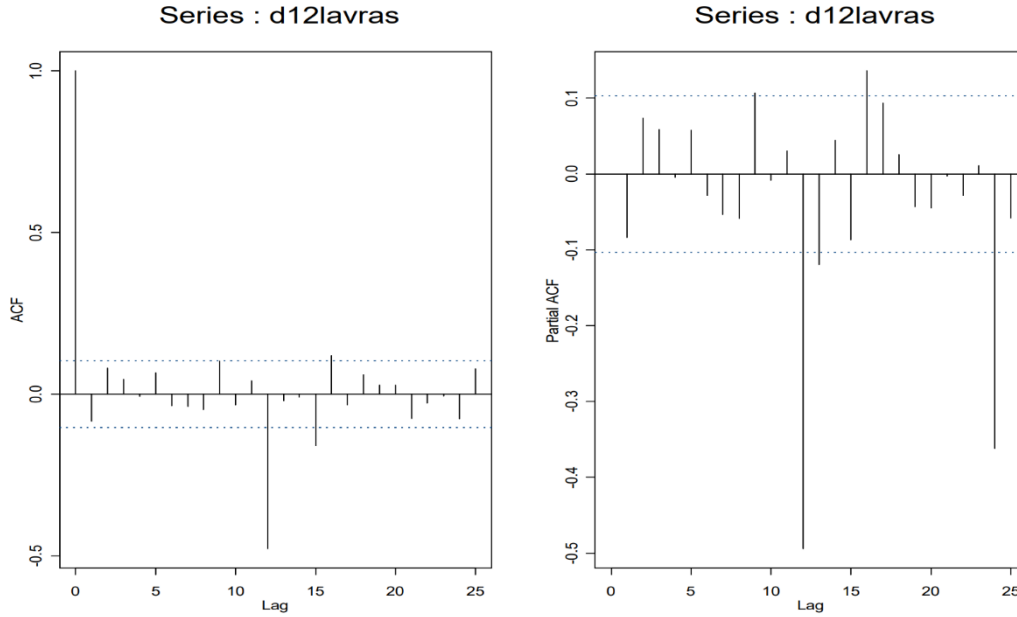


Figura 10.3: Fac e facp da série $(1 - B^{12})Z_t$

O Quadro 10.2 apresenta a estimação dos parâmetros utilizando o R. As fac e facp dos resíduos do modelo (10.29) estão na Figura 10.4. Analisando os resultados do Quadro 10.2, vemos que θ_0 não é significativo, devendo, portanto, ser retirado do modelo. Além disso, a análise residual (Figura 10.4) sugere a introdução de um polinômio autorregressivo no modelo, pois ϕ_{11} , ϕ_{99} e $\phi_{15,15}$ são significativamente diferentes de zero, indicando como modelo alternativo

$$(1 - \phi_1 B - \phi_9 B^9 - \phi_{15} B^{15})(1 - B^{12})Z_t = (1 - \Theta_1 B^{12})a_t. \quad (10.30)$$

Entretanto, ao ajustarmos esse modelo, verificamos que obtemos a informação s.e($\hat{\phi}_1$) = NaN (impossível de ser calculado) e, portanto, ϕ_1 foi retirado do modelo, indicando-se um novo modelo alternativo

$$(1 - \phi_9 B^9 - \phi_{15} B^{15})(1 - B^{12})(1 - B^{12})Z_t = (1 - \Theta_1 B^{12})a_t. \quad (10.31)$$

Quadro 10.2: Ajustamento de um modelo SARIMA(0,0,0) × (0,1,1)₁₂, com θ_0 , à série Chuva-Lavras.

| | Estimate | SE | t-value | p-value |
|----------|----------|--------|----------|---------|
| sma1 | -0.9998 | 0.0567 | -17.6300 | 0.0000 |
| constant | 0.0233 | 0.0375 | 0.6233 | 0.5335 |

sigma2 estimated as 6015
 log likelihood = -2097.76
 aic = 4201.52

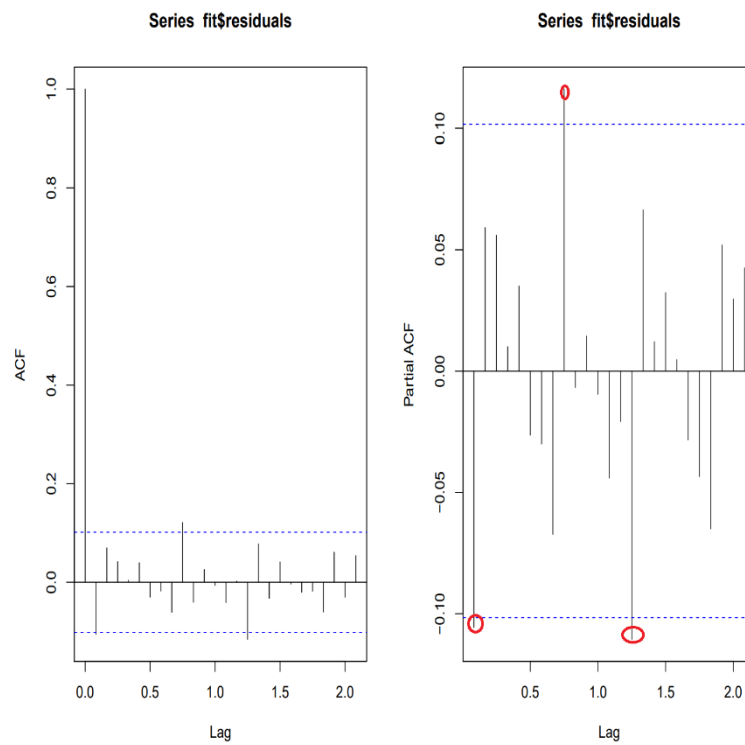


Figura 10.4: Fac e facp dos resíduos do modelo SARIMA (0,0,0) × (0,1,1)₁₂.

Analisando o Quadro 10.3, podemos verificar que todos os parâmetros são significantes. A Figura 10.5 indica um bom ajustamento do modelo, uma vez que o comportamento da fac residual é compatível com a de um processo de ruído branco.

Assim, um modelo proposto para a Série Chuva - Lavras é dado por

$$(1 - 0,1238B^9 + 0,1207B^{15})(1 - B^{12})Z_t = (1 - 1,0000B^{12})a_t, \quad (10.32)$$

com $\hat{\sigma}_a^2 = 5826$, AIC=4192,78 e $Q_{21} = 14,12$, com valor- $P = 0,8645$.

| Quadro 10.3: Ajustamento do modelo (10.31) à série Chuva-Lavras (SE entre parênteses). | | | | | | | | |
|--|------|------|------|------|----------|----------|-----|---------|
| ar1 | ar2 | ar3 | ar4 | ar5 | ar6 | ar7 | ar8 | ar9 |
| 0 | 0 | 0 | 0 | 0 | 0 | 0 | 0 | 0.123 |
| (0) | (0) | (0) | (0) | (0) | (0) | (0) | (0) | (0.052) |
| ar10 | ar11 | ar12 | ar13 | ar14 | ar15 | sma1 | | |
| 0 | 0 | 0 | 0 | 0 | -0.1207 | -1.0000 | | |
| (0) | (0) | (0) | (0) | (0) | (0.0531) | (0.0608) | | |
| sigma2 estimated as 5826 log likelihood = -2092.39 aic = 4192.78 | | | | | | | | |
| residuals Box-Ljung test: X-squared = 14.119, df = 21, p-value = 0.8645 | | | | | | | | |

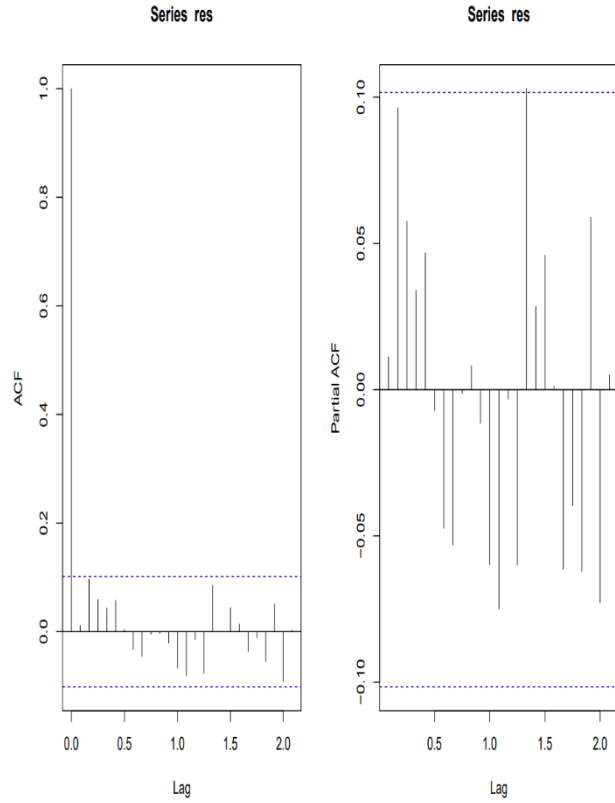


Figura 10.5: Fac e facp dos resíduos do modelo (10.32).

Entretanto, se observarmos o valor de $\Theta_1 = -1,0000(0,0608)$, veremos que (10.31) é um modelo não invertível. Na tentativa de encontrarmos um modelo invertível, trocaremos o parâmetro de média móvel sazonal por dois parâmetros autorregressivos sazonais, colocando também um polinômio AR(9) (comportamento de $\hat{\phi}_{99}$ na Figura 10.3).

Portanto um segundo modelo sugerido é um SARIMA(9, 0, 0) \times (2, 1, 0)₁₂:

$$(1 - \phi_1 B - \dots - \phi_9 B^9)(1 - \Phi_1 B^{12} - \Phi_2 B^{24})Z_t = a_t. \quad (10.33)$$

Quadro 10.4: Ajustamento do modelo (10.33) à série Chuva-Lavras.

| | Estimate | SE | t-value | p-value |
|------|----------|--------|---------|---------|
| ar1 | -0.1329 | 0.0532 | -2.4998 | 0.0129 |
| ar2 | 0.0888 | 0.0537 | 1.6534 | 0.0991 |
| ar3 | 0.0647 | 0.0540 | 1.1978 | 0.2318 |
| ar4 | 0.0359 | 0.0547 | 0.6570 | 0.5116 |
| ar5 | 0.0587 | 0.0540 | 1.0864 | 0.2780 |
| ar6 | -0.0049 | 0.0549 | -0.0894 | 0.9288 |
| ar7 | -0.0360 | 0.0538 | -0.6689 | 0.5040 |
| ar8 | -0.0573 | 0.0536 | -1.0700 | 0.2854 |
| ar9 | 0.1032 | 0.0535 | 1.9286 | 0.0546 |
| sar1 | -0.7132 | 0.0487 | 14.6371 | 0.0000 |
| sar2 | -0.4186 | 0.0483 | -8.6675 | 0.0000 |

sigma2 estimated as 7133
log likelihood = -2112.02
aic = 4248.03

Quadro 10.5: Ajustamento do modelo (10.33) incompleto à série Chuva-Lavras (SE entre parênteses).

| | | | | | |
|----------|-----|----------|----------|----------|-----|
| ar1 | ar2 | ar3 | ar4 | ar5 | ar6 |
| -0.1364 | 0 | 0 | 0 | 0 | 0 |
| (0.0527) | (0) | (0) | (0) | (0) | (0) |
| ar7 | ar8 | ar9 | sar1 | sar2 | |
| 0 | 0 | 0.1091 | -0.7128 | -0.4228 | |
| (0) | (0) | (0.0532) | (0.0483) | (0.0480) | |

sigma2 estimated as 7261
log likelihood = -2115.24
aic = 4240.47

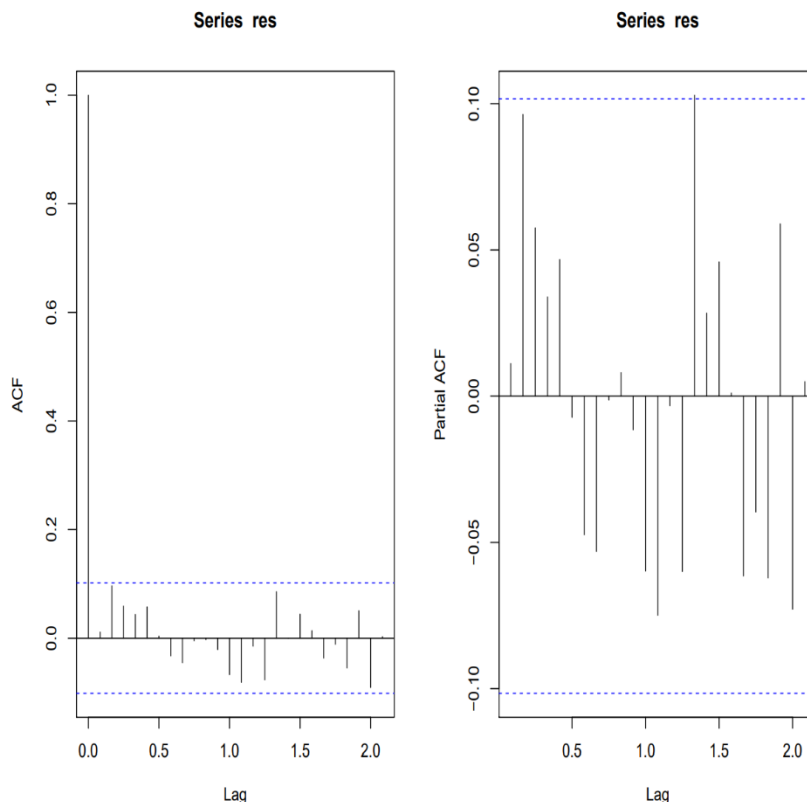


Figura 10.7: Fac e facp dos resíduos do modelo (10.34).

Analisando o Quadro 10.4, vemos ϕ_1, ϕ_9, Φ_1 e Φ_2 são significativos, com o nível de 5,5%. O Quadro 10.5 apresenta o ajustamento do modelo incompleto,

$$(1 + 0,1364B - 0,1091B^9)(1 + 0,7128B^{12} + 0,4228B^{24})(1 - B^{12})Z_t = a_t, \quad (10.34)$$

$\sigma_a^2 = 7261$, $AIC=4240,47$ e $Q_{20} = 24,671$, com valor $P=0,2143$.

Podemos verificar que o modelo (10.32), apesar de ser não invertível, é o que melhor se ajusta às observações (menor AIC, maior log-verossimilhança e menor variância residual).

As previsões para a precipitação em Lavras durante o ano de 1997, com origem em dezembro de 1976 ($t = 372$), estão nas Tabelas 10.5 e 10.6, utilizando os modelos (10.32) e (10.34), respectivamente. A representação gráfica dessas tabelas estão nas Figuras 10.6 e 10.8, respectivamente.

Com o objetivo de comparar os dois modelos ajustados, apresentamos algumas medidas de ajustamento e adequação de previsão na Tabela 10.7.

Analisando as informações da Tabela 10.7, podemos concluir que o modelo (10.32), apesar de não invertível, é o que melhor se ajusta e o que fornece melhores previsões.

Tabela 10.5: Previsões para a série Chuva–Lavras, utilizando o modelo (10.32), com origem em $t = 372$, $h = 1, 2, \dots, 12$.

| $t + h$ | $\hat{Z}_t(h)$ | Erro padrão | Z_{t+h} |
|--------------------------------------|----------------|-------------|-----------|
| 373 | 281,4125 | 77,5554 | 383,3000 |
| 374 | 209,7010 | 77,5554 | 114,5000 |
| 375 | 149,0552 | 77,5554 | 96,5000 |
| 376 | 81,2673 | 77,5532 | 61,1000 |
| 377 | 35,9498 | 77,5532 | 41,0000 |
| 378 | 41,2916 | 77,5532 | 52,6000 |
| 379 | 18,3567 | 77,5531 | 5,6000 |
| 380 | 37,0248 | 77,5531 | 1,2000 |
| 381 | 70,5101 | 77,5531 | 38,8000 |
| 382 | 122,5116 | 78,1451 | 164,1000 |
| 383 | 208,7317 | 78,1451 | 194,8000 |
| 384 | 276,5557 | 78,1451 | 253,6000 |
| <hr/> $EQMP_{372} = 2583,9827$ <hr/> | | | |

Tabela 10.6: Previsões atualizadas para a série Chuva–Lavras, utilizando o modelo (10.34), com origem em $t = 372$, $h = 1, 2, \dots, 12$.

| t | $\hat{Z}_t(h)$ | Erro padrão | Z_{t+h} |
|--------------------------------------|----------------|-------------|-----------|
| 373 | 294,8034 | 85,2124 | 383,3000 |
| 374 | 275,5695 | 86,0016 | 114,5000 |
| 375 | 188,2578 | 86,0162 | 96,5000 |
| 376 | 44,3199 | 86,0165 | 61,1000 |
| 377 | 128,1415 | 86,0165 | 41,0000 |
| 378 | 21,8078 | 86,0165 | 52,6000 |
| 379 | 0,0000 | 86,0165 | 5,6000 |
| 380 | 30,3922 | 86,0165 | 1,2000 |
| 381 | 43,6667 | 86,0165 | 38,8000 |
| 382 | 123,7323 | 86,5179 | 164,1000 |
| 383 | 213,3514 | 86,5551 | 194,8000 |
| 384 | 334,7162 | 86,5566 | 253,6000 |
| <hr/> $EQMP_{372} = 5039,8893$ <hr/> | | | |

Tabela 10.7: Medidas de qualidade de ajuste e previsão para os modelos (10.32) e (10.34).

| Modelos | Ajustamento | | Previsão |
|---------|--------------|----------|-------------|
| | σ_a^2 | AIC | EQM_{372} |
| (10.32) | 5826 | 4.192,78 | 2.583,98 |
| (10.34) | 7.261 | 4.240,47 | 5.039,89 |

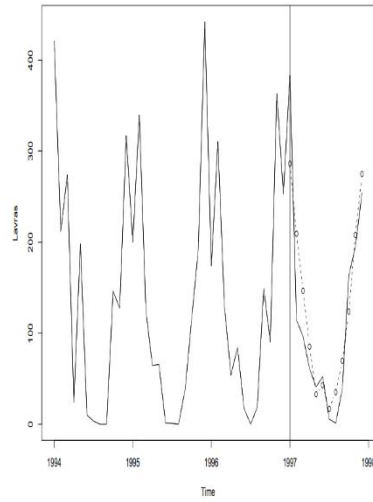


Figura 10.6: Série Chuva–Lavras, observações de janeiro de 1994 a dezembro de 1997 e previsões (linha tracejada com círculos) para o ano de 1997, utilizando o modelo (10.32).

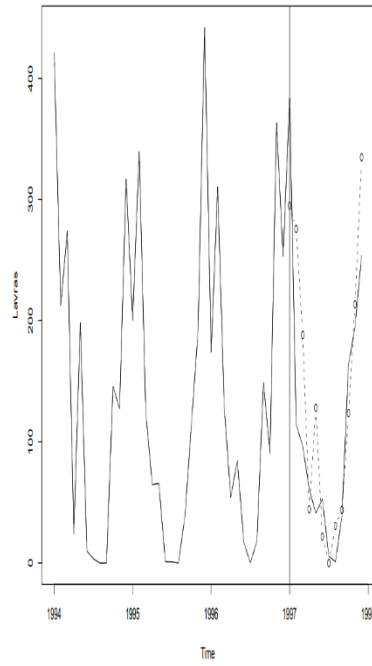


Figura 10.8: Série Chuva–Lavras, observações e previsões utilizando o modelo (10.34).

Exemplo 10.8. Vamos analisar agora a série Índices-IPI, no período compreendido entre janeiro de 1985 e julho de 2000. Utilizaremos as primeiras 180 observações para a identificação, estimação e verificação do modelo. As últimas 7 observações servirão como base para comparar as previsões. Observamos, na Figura 10.9, que a série apresenta uma componente sazonal de período 12 me-

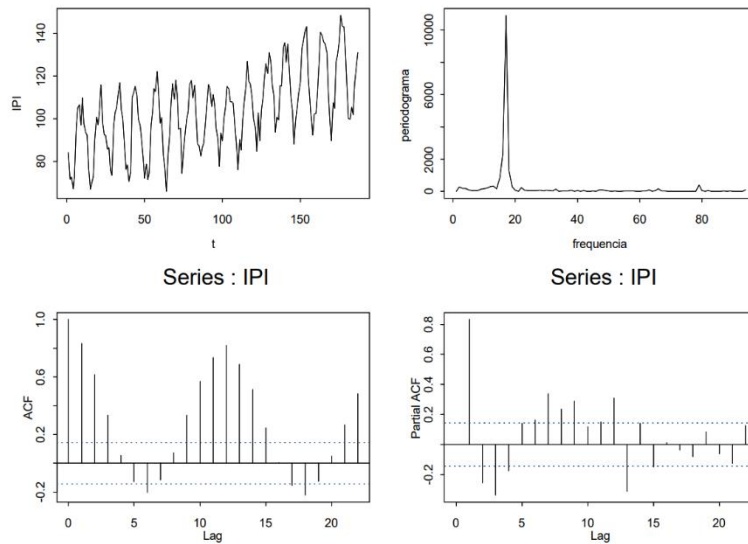


Figura 10.9: Série Índices-IPI, periodograma, fac e facp.

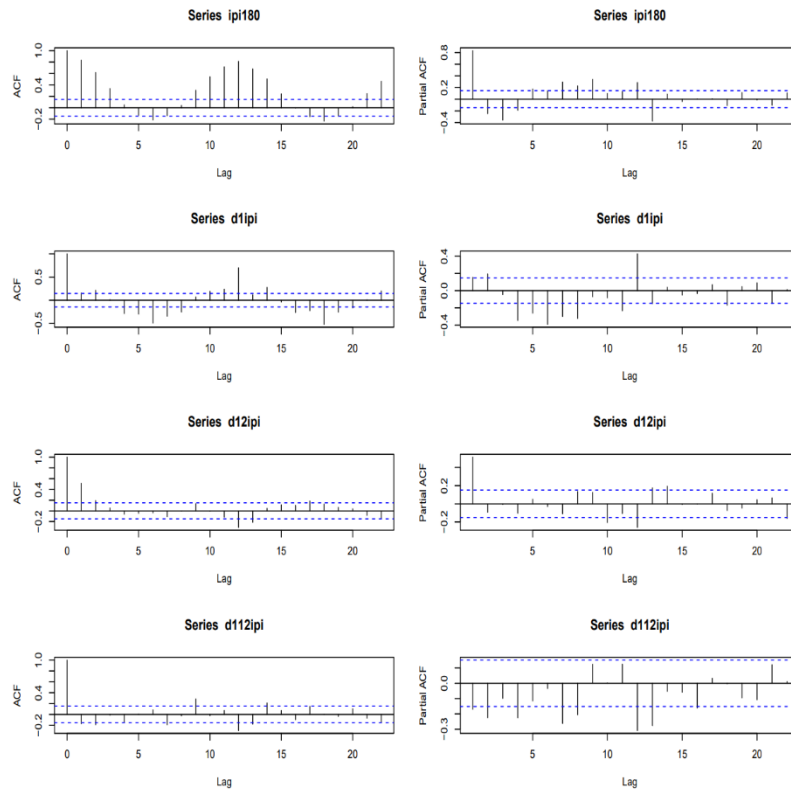


Figura 10.10: Série Índices–IPI, fac e facp das séries Z_t , $(1 - B)Z_t$, $(1 - B^{12})Z_t$ e $(1 - B)(1 - B^{12})Z_t$.

A Figura 10.10 apresenta as fac e facp das séries Z_t , $(1 - B)Z_t$, $(1 - B^{12})Z_t$ e $(1 - B)(1 - B^{12})Z_t$. Uma análise dessas funções sugere dois modelos preliminares:

- (a) SARIMA(0, 0, 1) \times (0, 1, 1)₁₂ com θ_0 , isto é,

$$(1 - B^{12})Z_t = \theta_0 + (1 - \theta_1 B)(1 - \Theta_1 B^{12})a_t \quad (10.35)$$

- (b) SARIMA(0, 1, 1) \times (0, 1, 1)₁₂, isto é,

$$(1 - B)(1 - B^{12})Z_t = (1 - \theta_1 B)(1 - \Theta_1 B^{12})a_t, \quad (10.36)$$

que serão estimados, verificados e comparados com relação ao ajustamento e à capacidade de prever valores futuros da série.

(a) Modelo preliminar (10.35)

O Quadro 10.6 e a Figura 10.11 apresentam o ajustamento do modelo (10.35) e as funções de autocorrelação e autocorrelação parcial dos resíduos. Verificamos, utilizando o Quadro 10.6, que todos os parâmetros são significantes, entretanto, a análise da Figura 10.11 nos mostra que o modelo não é adequado, uma vez que várias autocorrelações residuais são significativamente diferentes de zero. Valores altos de r_2 , $\hat{\phi}_{99}$ e $\hat{\phi}_{14,14}$ sugerem o modelo alternativo

$$(1 - B^{12})(1 - \phi_9 B^9 - \phi_{14} B^{14})Z_t = (1 - \theta_1 B - \theta_2 B^2)(1 - \Theta_1 B^{12})a_t, \quad (10.37)$$

que ao ser ajustado revela uma autocorrelação residual de ordem três, r_3 , significativamente diferente de zero. Acrescentando um parâmetro de média móvel de ordem três, temos um novo modelo

$$(1 - B^{12})(1 - \phi_9 B^9 - \phi_{14} B^{14})Z_t = (1 - \theta_1 B - \theta_2 B^2 - \theta_3 B^3)(1 - \Theta_1 B^{12})a_t, \quad (10.38)$$

que tem seu ajustamento e fac e facp residuais apresentados no Quadro 10.7 e Figura 10.12, respectivamente. Analisando o Quadro 10.7, constatamos que todos os parâmetros são significantes; além disso, a análise das fac e facp residuais e da estatística de Ljung-Box não revelam nenhuma quebra de comportamento de ruído branco.

Assim, um primeiro modelo adequado à série Índices - IPI é dado por

$$\begin{aligned} & (1 - B^{12})(1 - 0,3271B^9 - 0,2927B^{14})Z_t \\ & = (1 + 0,6093B + 0,3790B^2 + 0,2272B^3)(1 - 0,5178B^{12})a_t, \quad (10.39) \end{aligned}$$

com $\hat{\sigma}_a^2 = (5, 18)^2$.

Quadro 10.6: Ajustamento do modelo (10.35) à série Índices-IPI.

| | Estimate | SE | t-value | p-value |
|---|----------|--------|---------|---------|
| ma1 | 0.4984 | 0.0629 | 7.9266 | 0 |
| sma1 | -0.5457 | 0.0825 | -6.6124 | 0 |
| constant | 0.1975 | 0.0271 | 7.2796 | 0 |
| sigma2 estimated as 31.98 | | | | |
| log likelihood = -531.71 | | | | |
| aic = 1071.42 | | | | |
| residuals Box-Ljung test: X-squared = 24.671, df = 20, p-value = 0.2143 | | | | |

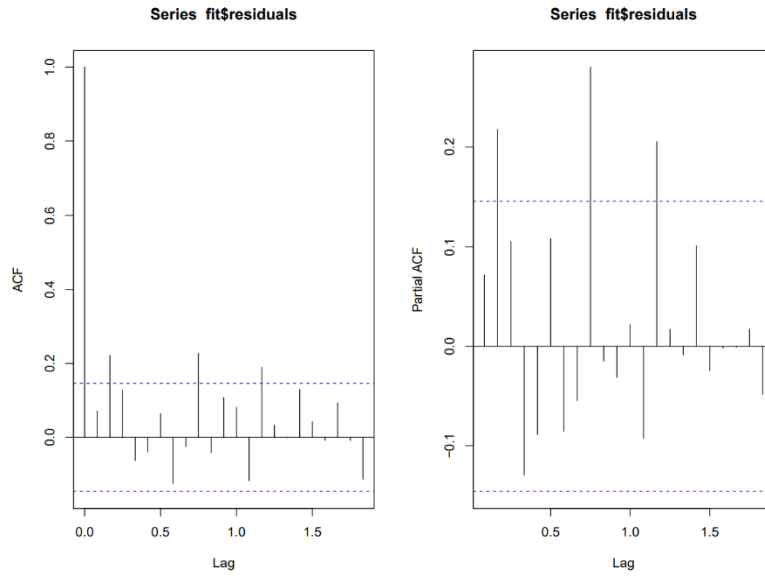


Figura 10.11: Fac e facp dos resíduos do modelo (10.35) ajustado à série Índices-IPI.

| Quadro 10.7: Ajustamento do modelo (10.38) à série Índices-IPI (SE entre parênteses). | | | | | | | | |
|---|------|------|------|----------|----------|----------|----------|----------|
| ar1 | ar2 | ar3 | ar4 | ar5 | ar6 | ar7 | ar8 | ar9 |
| 0 | 0 | 0 | 0 | 0 | 0 | 0 | 0 | 0.3271 |
| (0) | (0) | (0) | (0) | (0) | (0) | (0) | (0) | (0.0705) |
| ar10 | ar11 | ar12 | ar13 | ar14 | ma1 | ma2 | ma3 | sma1 |
| 0 | 0 | 0 | 0 | 0.2927 | 0.6093 | 0.3790 | 0.2272 | -0.5178 |
| (0) | (0) | (0) | (0) | (0.0727) | (0.0735) | (0.0815) | (0.0745) | 0.0690 |
| sigma2 estimated as 26.84 | | | | | | | | |
| log likelihood = -518.15 | | | | | | | | |
| aic = 1050.31 | | | | | | | | |
| Residuals Box-Ljung test: X-squared = 16.314, df = 18, p-value = 0.5706 | | | | | | | | |

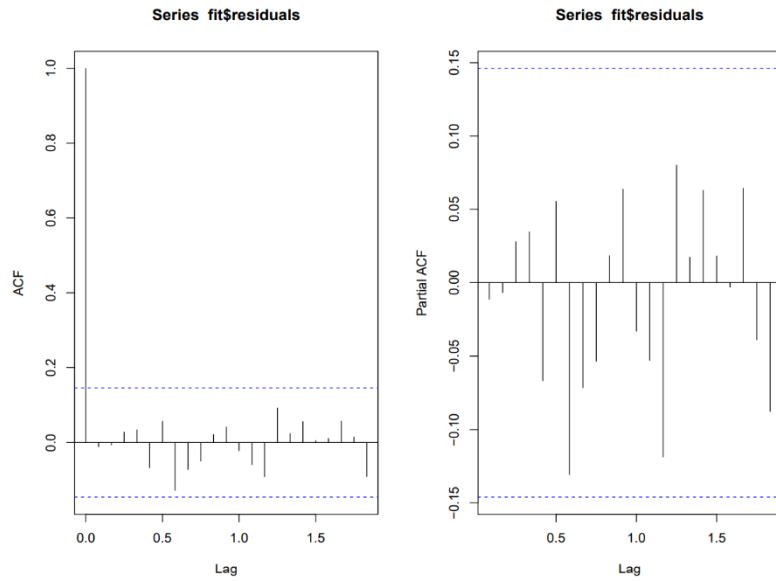


Figura 10.12: Fac e facp dos resíduos do modelo (10.39) ajustado à série Índices–IPI.

As previsões, com origem em $t = 180$ (dezembro de 1999), para os meses de janeiro a julho de 2000 encontram-se na Tabela 10.8 e a respectiva representação gráfica na Figura 10.13. Observe que, na última linha dessa tabela, apresentamos o erro quadrático médio de previsão, que será utilizado na comparação dos dois modelos propostos para a série Índices: IPI.

Tabela 10.8: Previsões para a série Índices–IPI, utilizando o modelo (10.39), com origem em $t = 180$ e $h = 1, 2, \dots, 7$.

| $t + h$ | $\hat{Z}_t(h)$ | Erro padrão | Z_{t+h} |
|-----------------------|----------------|-------------|-----------|
| 181 | 92,1105 | 5,1811 | 100,1300 |
| 182 | 104,1630 | 6,0672 | 99,9000 |
| 183 | 102,2110 | 6,3770 | 105,3800 |
| 184 | 124,8182 | 6,4847 | 101,9600 |
| 185 | 129,1130 | 6,4847 | 116,1900 |
| 186 | 142,4084 | 6,4847 | 124,6600 |
| 187 | 146,3081 | 6,4847 | 131,1000 |
| $EQMP_{180} = 189,76$ | | | |

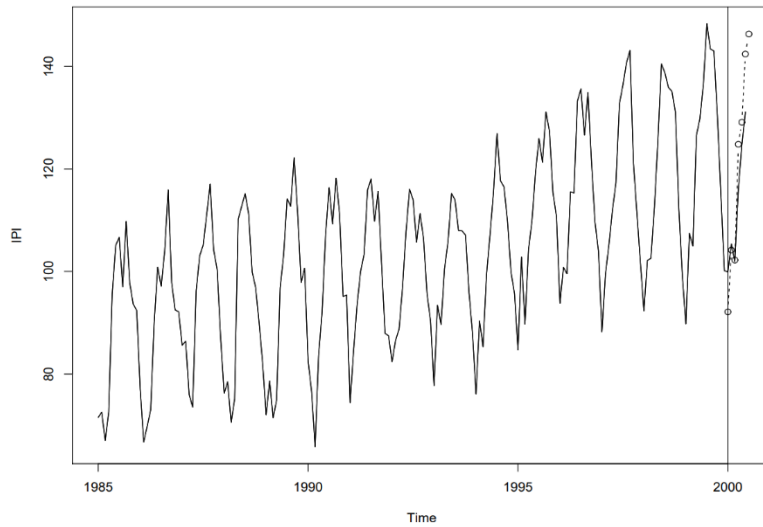


Figura 10.13: Série Índices-IPI, observações de janeiro de 1990 a julho de 2000 e previsões (linha tracejada com círculos) para os meses de janeiro a julho de 2000, utilizando o modelo (10.39).

Quadro 10.9: Ajustamento do modelo (10.40) à série Índices-IPI (SE entre parênteses).

| ar1 | ar2 | ar3 | ar4 | ar5 | ar6 | ar7 | ma1 | sma1 |
|--|-----|-----|----------|-----|-----|----------|----------|----------|
| 0 | 0 | 0 | -0.2739 | 0 | 0 | -0.2774 | -0.5274 | -0.6358 |
| (0) | (0) | (0) | (0.0717) | (0) | (0) | (0.0725) | (0.1027) | (0.0626) |
| sigma2 estimated as 32.33 log likelihood=-526.41 AIC=1062.81 | | | | | | | | |

(b) Modelo preliminar (10.36)

O Quadro 10.8 e a Figura 10.14 apresentam o ajustamento do modelo (10.36) e as fac e facp residuais. Todos os parâmetros do modelo são significantes, entretanto, o comportamento da fac mostra que o modelo é inadequado. Os valores grandes de $\hat{\phi}_{44}$ e $\hat{\phi}_{77}$ sugerem a inclusão de um polinômio AR no modelo, isto é,

$$(1 - \phi_4 B^4 - \phi_7 B^7)(1 - B)(1 - B^{12})Z_t = (1 - \theta_1 B)(1 - \Theta_1 B^{12})a_t. \quad (10.40)$$

O ajustamento do modelo (10.40) bem como o comportamento dos resíduos são apresentados no Quadro 10.9 e Figura 10.15, respectivamente. O comportamento das fac e facp revela que o modelo (10.40) pode ser melhorado, introduzindo um parâmetro AR de ordem 5 no modelo ($\hat{\phi}_{55} = -0,16$ está no limite do intervalo de confiança). Assim, o novo modelo proposto é

$$(1 - \phi_4 B^4 - \phi_5 B^5 - \phi_7 B^7)(1 - B)(1 - B^{12})Z_t = (1 - \theta_1 B)(1 - \Theta_1 B^{12})a_t, \quad (10.41)$$

com ajustamento e fac e facp residual apresentados no Quadro 10.10 e Figura 10.16, respectivamente.

Quadro 10.8: Ajustamento do modelo (10.36) à série Índices-IPI (SE entre parênteses).

| ar1 | ar2 | ar3 | ar4 | ar5 | ar6 | ar7 | ma1 | sma1 |
|---------------------------|-----|-----|----------|-----|-----|---------|---------|---------|
| 0 | 0 | 0 | -0.2739 | 0 | 0 | -0.2774 | -0.5274 | -0.6358 |
| (0) | (0) | (0) | (0.0717) | (0) | (0) | (.0725) | 0.1027 | 0.0626 |
| sigma2 estimated as 32.33 | | | | | | | | |
| log likelihood=-526.41 | | | | | | | | |
| AIC=1062.81 | | | | | | | | |

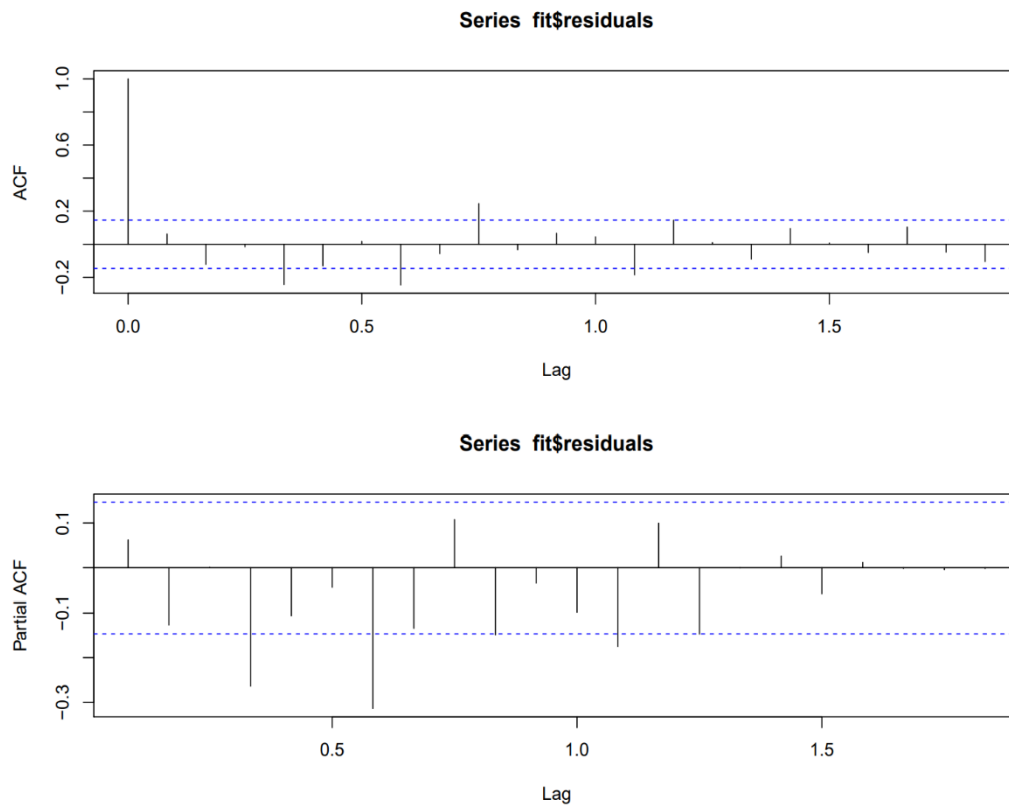


Figura 10.14: Fac e facp dos resíduos do modelo (10.36).

Quadro 10.9: Ajustamento do modelo (10.40) à série Índices-IPI (SE entre parênteses).

| ar1 | ar2 | ar3 | ar4 | ar5 | ar6 | ar7 | ma1 | sma1 |
|--|-----|-----|----------|-----|-----|----------|----------|----------|
| 0 | 0 | 0 | -0.2739 | 0 | 0 | -0.2774 | -0.5274 | -0.6358 |
| (0) | (0) | (0) | (0.0717) | (0) | (0) | (0.0725) | (0.1027) | (0.0626) |
| sigma2 estimated as 32.33 log likelihood=-526.41 AIC=1062.81 | | | | | | | | |

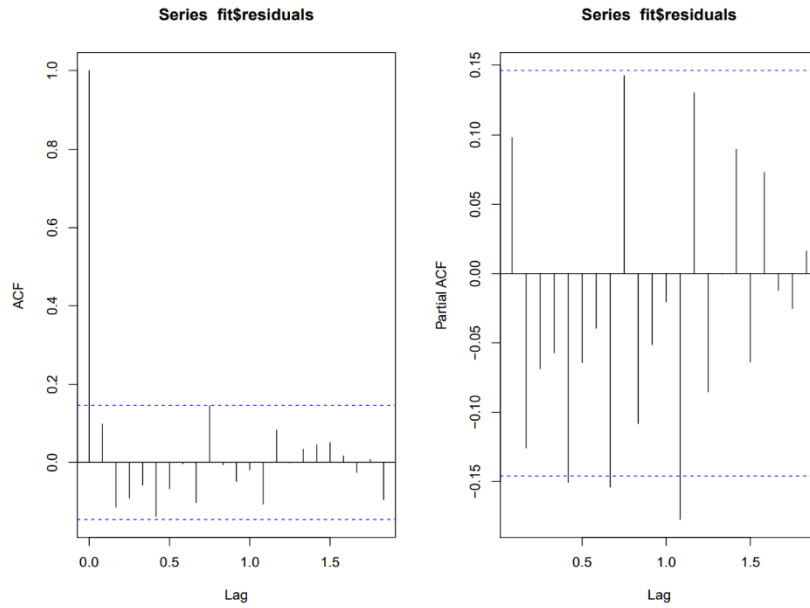


Figura 10.15: Fac e facp dos resíduos do modelo (10.40).

| Quadro 10.10: Ajustamento do modelo (10.41) à série Índices-IPI (SE entre parênteses). | | | | | | | | |
|--|-----|-----|----------|----------|-----|----------|----------|----------|
| ar1 | ar2 | ar3 | ar4 | ar5 | ar6 | ar7 | ma1 | sma1 |
| 0 | 0 | 0 | -0.2440 | -0.1752 | 0 | -0.2969 | -0.5363 | -0.6545 |
| (0) | (0) | (0) | (0.0699) | (0.0716) | (0) | (0.0705) | (0.0943) | (0.0592) |
| sigma2 estimated as 29.55 | | | | | | | | |
| log likelihood = -523.46 | | | | | | | | |
| aic = 1058.93 | | | | | | | | |
| Residuals Box-Ljung test : X-squared = 28.081, df = 19, p-value = 0.08188 | | | | | | | | |

Substituindo os valores estimados dos parâmetros em (10.41), temos que um segundo modelo adequado à série Índices: IPI é dado por

$$\begin{aligned}
 & (1 + 0,2440B^4 + 0,1752B^5 + 0,2969B^7)(1 - B)(1 - B^{12})Z_t \\
 & = (1 - 0,5363B)(1 - 0,6545B^{12})a_t,
 \end{aligned}
 \tag{10.42}$$

com $\sigma_a^2 = 29,55$.

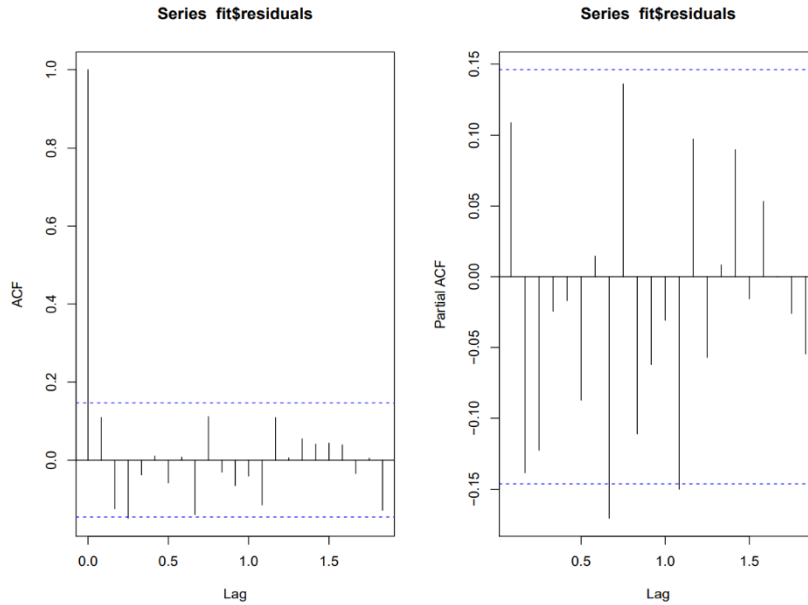


Figura 10.16: Fac e facp dos resíduos do modelo (10.42).

As previsões para os meses de janeiro a julho de 2000, com origem em dezembro de 1999 ($t = 180$), encontram-se na Tabela 10.9 e Figura 10.17.

Finalmente, com o objetivo de comparar os dois modelos ajustados para a série Índices-IPI, expressões (10.39) e (10.42), apresentamos algumas medidas de ajustamento e adequação de previsão na Tabela 10.10.

Os valores $EQMP_{180}$ foram obtidos das Tabelas 10.8 e 10.9. Os valores AIC e BIC, da expressão (6.21) e (6.24), respectivamente.

Analisando as informações da Tabela 10.10 podemos concluir que o modelo (10.39) é o que melhor se ajusta à série Índices - IPI e, também, o que faz melhores previsões para os meses de janeiro a julho de 2000 quando fixamos a origem da previsão em dezembro de 1999.

Tabela 10.9: Previsões para a série Índices-IPI, utilizando o modelo (10.42), com origem em $t = 180$ e $h = 1, 2, \dots, 7$.

| $t + h$ | $\hat{Z}_t(h)$ | Erro padrão | Z_{t+h} |
|---------|----------------|-------------|-----------|
| 181 | 95,2730 | 5,4359 | 100,1300 |
| 182 | 106,6373 | 5,19918 | 99,9000 |
| 183 | 106,8644 | 6,5003 | 105,3800 |
| 184 | 124,0673 | 6,9718 | 101,9600 |
| 185 | 130,6255 | 7,0733 | 116,1900 |
| 186 | 141,8238 | 7,1372 | 124,6600 |
| 187 | 148 | 7,2858 | 131,1000 |

$EQMP_{180} = 197,57$

Tabela 10.10: Medidas de qualidade de ajuste e previsão para os modelos (10.39) e (10.42).

| Modelos | Ajustamento | | Previsão |
|---------|--------------------|----------|--------------|
| | $\hat{\sigma}_a^2$ | AIC | $EQMP_{180}$ |
| (10.39) | 26,84 | 1.050,31 | 189,76 |
| (10.42) | 29,55 | 1.058,93 | 197,57 |

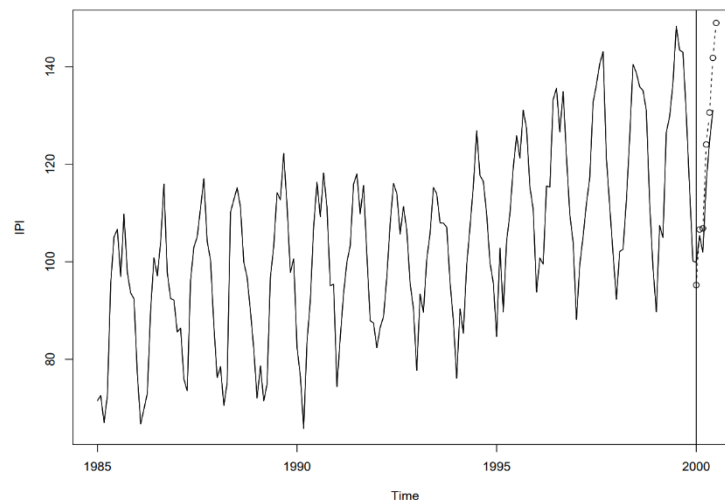


Figura 10.17: Série Índices-IPI, observações de janeiro de 1990 a julho de 2000 e previsões (linha tracejada) para os meses de janeiro a julho de 2000, utilizando o modelo (10.42), com origem em dezembro de 1999 e $h = 1, 2, \dots, 7$.